

УДК 537.521

## ХАРАКТЕРИСТИКИ НЕСАМОСТОЯТЕЛЬНОГО РАЗРЯДА В СМЕСИ $H_2$ —He

*A. B. Демьянов, Н. А. Дятко, И. В. Кочетов, А. П. Напартович,  
А. Ф. Паль, В. В. Пичугин, А. Н. Старостин*

Экспериментально и теоретически исследованы характеристики несамостоятельного разряда в смеси  $H_2$ —He. Обнаружен немонотонный ход тока во времени. Показано, что резкий рост тока разряда вызван прямым возбуждением молекул  $H_2$  и последующей ассоциативной ионизацией при соударениях с атомами H. Экспериментальные предельные энерговклады в смеси  $H_2$ —He оказались меньше, чем в смесях  $H_2$ —Ar. При определенных условиях наблюдалась неподвижные светящиеся слои, перпендикулярные току разряда. В целом физические процессы в исследуемой смеси аналогичны процессам в смесях  $H_2$ —Ar.

Несамостоятельный разряд в смесях благородных газов с молекулярными позволяет относительно легко получать высоковозбужденные молекулы. Изучение процессов с участием таких молекул может представлять интерес для реализации лазеров ближнего ИК диапазона на колебательных переходах галогеноводородных молекул.

Один из эффектов колебательного возбуждения  $H_2$  обусловлен резким ростом сечения диссоциативного прилипания электронов с номером колебательного уровня. Поэтому основные свойства разряда существенным образом определяются временем установления функции распределения по колебательным уровням  $\tau_{v-v}$ . В работах [1, 2] исследовался разряд в смесях  $H_2$  и  $D_2$  с аргоном и гелием атмосферного давления на коротких временах ( $\sim$ мкс). За эти времена, по-видимому, успевали возбудиться лишь нижние колебательные уровни. В данной работе длительность разряда составляла сотни микросекунд, за счет  $V-V$  обмена возбуждались высоколежащие уровни и успевало сформироваться плато на функции распределения по колебательным уровням. Именно это обстоятельство и обусловило качественно иные характеристики разряда в нашей работе, чем в [1, 2], такие как немонотонная зависимость тока разряда от времени, наличие светящихся слоев и уровень предельных энерговкладов.

В работах [3, 4] исследован несамостоятельный разряд в смеси  $H_2$ —Ar также длительностью  $\geq 100$  мкс. В данной работе изучается несамостоятельный разряд атмосферного давления в смеси  $H_2$ —He. Показано, что физические процессы в этой смеси аналогичны процессам в смеси  $H_2$ —Ar. Проведены оценки времени развития неустойчивости, приводящей к шнурованию разряда. Экспериментально и теоретически определены предельные энерговклады в этой смеси.

### Описание эксперимента

Экспериментальные исследования проводились на установке, описанной в [3]. Через разрядный объем, который представлял собой куб с ребром в 1 см, прокачивалась смесь  $H_2$ : He = 1 : 9 со скоростью  $\sim 5$  м/с при атмосферном давлении. К разрядному промежутку прикладывалось постоянное напряжение до 2500 В. Несамостоятельный разряд контролировался пучком электронов с энергией 120 кэВ, ток пучка менялся от 0 до 250 мкА/см<sup>2</sup>. В экспериментах снималась зависимость тока разряда от времени при различных напряжениях

на разряде и токах пучка. Типичные осциллограммы приведены на рис. 1. Из них видно, что при увеличении напряжения и плотности тока пучка ток разряда начинает немонотонно зависеть от времени.

### Обсуждение результатов

Диаграмма основных процессов в плазме разряда в смеси He—H<sub>2</sub> представлена на рис. 2. При анализе их будем опираться на результаты детального исследования разряда в смеси Ar—H<sub>2</sub>, опубликованные ранее [3, 4]. Путем решения электронного кинетического уравнения для функции распределения найдены для смеси He—H<sub>2</sub>=9 : 1 скорости процессов возбуждения и ионизации частиц, скорость дрейфа и баланс энергии электронов (рис. 3). Информация о скоростях ионно-молекулярных реакций и реакций возбужденных частиц взята из работ [5-7].

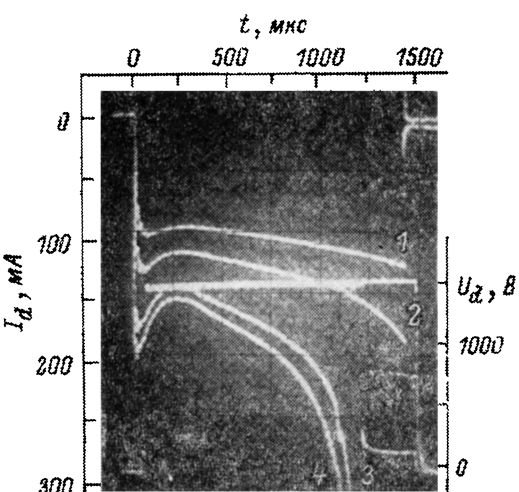


Рис. 1. Осциллограммы тока разряда (верхний луч, 50 мА/дел.) и напряжения на разряде (нижний луч, 500 В/дел.) при токе пучка  $i_b=100$  (1), 145 (2), 210 (3) и 240 мА/см<sup>2</sup> (4).

Развертка — 250 мкс/дел.

скорость электронов  $v_e$  в смеси с He несколько меньше, чем в смеси с Ar. Эффективная константа рекомбинации, по оценкам, в смеси He—H<sub>2</sub>  $K_r=10^{-7}$  см<sup>3</sup>/с, так что плотность тока разряда

$$j_a = ev_e \sqrt{S/K_r}, \quad (1)$$

где  $e$  — заряд электрона;  $S$  — скорость ионизации газа быстрыми электронами, что согласуется с экспериментом (рис. 4).

Различия в ионно-молекулярной кинетике обусловлены двумя обстоятельствами: различием потенциалов возбуждения и ионизации Ar и He; отличием в энергии сродства к протону (для He 1.85 эВ вместо 3.7 эВ для Ar). В результате образование HeH<sup>+</sup> из H<sub>3</sub><sup>+</sup> маловероятно, что делает основным в смеси He—H<sub>2</sub> ион H<sub>3</sub><sup>+</sup>. Маловероятен также процесс ассоциативной ионизации состояний H (2P, 2S) при соударении с He. Концентрация возбужденных атомов He при  $E/N \leq 0.8 \cdot 10^{-16}$  В·см<sup>2</sup> чрезвычайно мала из-за высокого порога, а H<sub>2</sub> ( $C^{31}I_u$ ) образуется намного эффективней, так что основной канал ионизации в плазме дает процесс



где H<sub>2</sub><sup>\*</sup> — молекула H<sub>2</sub> в метастабильном состоянии C<sup>3</sup>P<sub>u</sub>; H образуется в разряде главным образом в процессах диссоциативного прилипания и разрушения H<sup>-</sup> [4]. Таким образом, основной механизм роста тока на поздней стадии раз-

ряда обусловлен нагревом и разрежением газа, увеличением скорости возбуждения  $H_2$  и соответственно ионизации в процессе (2). Зависимость времени резкого нарастания тока  $\tau_n$  от  $j_b$  (плотности тока пучка быстрых электронов) изображена на рис. 5. Ввиду сходства механизмов неустойчивости в смесях  $He-H_2$  и  $Ar-H_2$  можно оценить  $\tau_n$ , используя выражение из [4]

$$\tau_n = \frac{1}{\nu_{tp}} \ln \frac{(E/N)_{kp}}{(E/N)_0}, \quad (3)$$

где  $\nu_{tp} = j_0 E_0 / C_p N_0 T_0$  — частота нагрева газа при постоянном давлении;  $E_0$ ,  $(E/N)_0$  — начальная напряженность (приведенная напряженность) электрического поля;  $C_p$  — теплоемкость газа при постоянном давлении;  $N_0$ ,  $T_0$  — начальные плотность газа и температура;  $j_0$  — плотность тока разряда в минимуме (рис. 1). Для смеси  $He-H_2$

$$(E/N)_{kp} = \frac{B}{\ln \gamma/5} \simeq 0.8 \cdot 10^{-16} \text{ В} \cdot \text{см}^2, \quad (4)$$

где  $\gamma = \nu_0 / 2K_r n_{e0}$ ;  $n_{e0}$  — концентрация электронов в минимуме тока;  $\nu_0$  и  $B$  определяются аппроксимацией константы скорости возбуждения  $H_2$  в состояние  $C^3\Pi_u$  (рис. 2);  $\nu_b = \nu_0 \exp(-BN/E)$ . Оценки времени развития неустойчивости по формуле (3) с использованием (1) хорошо согласуются с результатами эксперимента (рис. 5).

Используя (3), можно оценить предельный энерговклад  $w = \tau_n I_d E$  в смесях  $H_2-He$  (рис. 6). Оценки дают несколько завышенные по сравнению с экспериментом значения энерговклада. Заметим, что при обработке экспериментальных данных учитывалось катодное падение напряжения  $u_c \simeq 400$  В. Энерговклады в смесях с He оказались меньше, чем в смесях с Ar, из-за меньшего значения

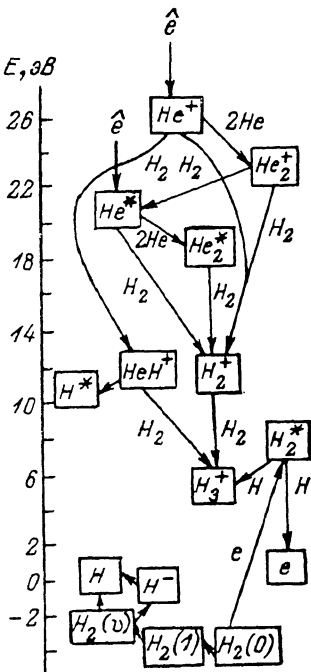


Рис. 2. Энергетическая диаграмма основных процессов в плазме  $H_2-He$ .

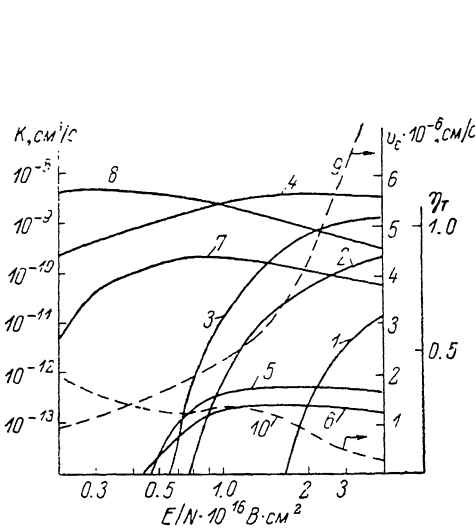


Рис. 3. Зависимости констант электронной кинетики  $K$  от  $E/N$  в смеси 10 %  $H_2-He$ .

1—4 — возбуждение электронных уровней  $He$ ,  $H_2$  ( $C^3\Pi_u$ ),  $H$  ( $2P$ ,  $2S$ ), первого колебательного уровня  $H_2$ ; 5—8 — диссоциативное прилипание электрона к молекуле  $H_2$  ( $v=0, 1, 4, 7$ ); 9, 10 — скорость дрейфа и доля энергии разряда, идущая в тепло  $\eta_T$ .

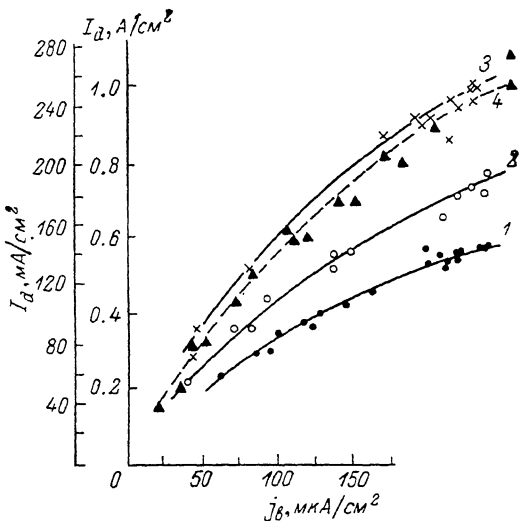


Рис. 4. Экспериментальная зависимость тока разряда от тока пучка при  $u_d = 1450$  В (1), 1900 (2), 2100 В (3) для смеси 10 %  $H_2-He$  (левая шкала) и 2000 В (4) для смеси 10 %  $H_2-Ar$  (правая шкала  $I_d$ ).

$(E/N)_{kp}$ . При малых напряжениях на разряде наблюдается рост энерговклада при малых токах пучка, вызванный увеличением времени развития неустойчивости. По-видимому, это связано с увеличением значения катодного падения с уменьшением тока пучка. Экстраполяция экспериментальных ВАХ разряда в  $\text{He}-\text{H}_2$  дает значение катодного падения  $u_c \approx 400$  В при  $j_b \approx 200$  мкА/см<sup>2</sup>

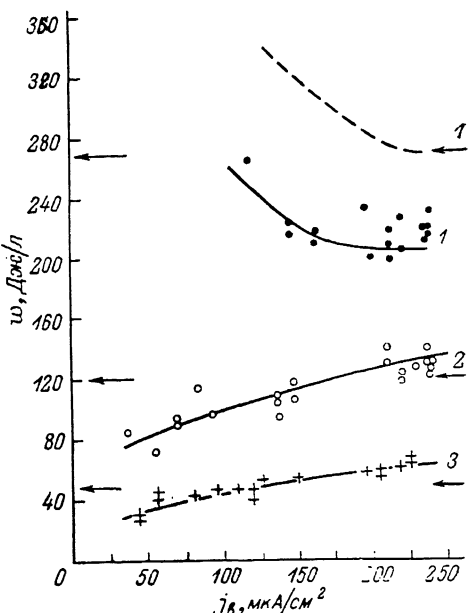
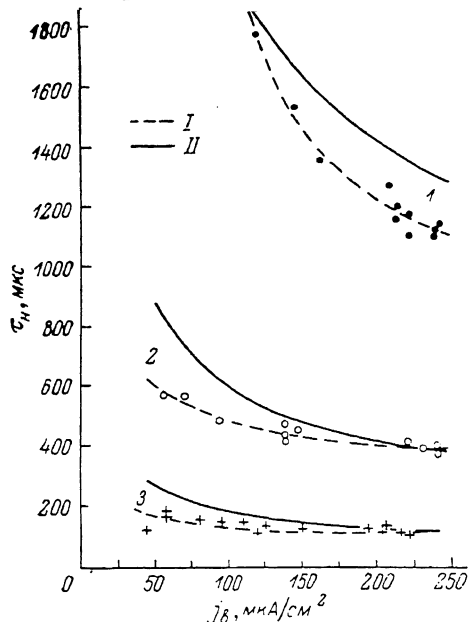


Рис. 5. Экспериментальные (I) и теоретические (II) зависимости времени развития неустойчивости от тока пучка при  $u_d=1450$  (1), 1900 (2) и 2300 В (3).

Рис. 6. Зависимость удельного энерговклада от тока пучка при  $u_d=1450$  (1), 1900 (2) и 2300 В (3).

Стрелками отмечен расчетный энерговклад. Штриховая кривая — энерговклад с учетом зависимости  $u_c$  от  $I_d$  (по формуле (3)).

и 900 В при  $j_b \approx 50$  мкА/см<sup>2</sup>. С учетом этого энерговклад можно оценить по формуле, полученной из (3)

$$w = N_0 T_0 C_p \ln \left( \frac{\bar{u}}{u_d - u_c} \right), \quad (5)$$

где  $\bar{u} = (E/N)_{kp} N_0 L$ ,  $u_d$  — напряжение на разряде,  $L$  — длина разрядного промежутка. Такая зависимость лучше согласуется с экспериментом (рис. 6).

Для контроля однородности горения разряда проводилось фотографирование разрядного промежутка фотоаппаратом с открытым затвором при регулируемой длительности импульса напряжения, меньшей времени развития

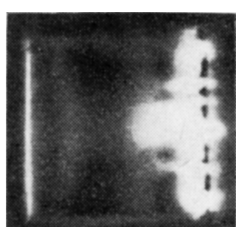


Рис. 7. Фотография разряда в неподвижной газовой смеси 10 %  $\text{H}_2 + \text{He}$ .

$p=1.4$  ата,  $u_d=2200$  В,  $J_b=200$  мкА/см<sup>2</sup>, длительность разряда 300 мкс. Слева — катод, справа — анод. Пучок инжектируется через анод.

неустойчивости. Фотографирование показало, что существуют режимы, при которых свечение разряда сильно неоднородно вдоль тока и имеет структуру периодических неподвижных полос. Полосатая структура возникает в узком диапазоне приложенного электрического поля и более отчетливо выражена при давлении смеси больше атмосферного (рис. 7).

Подобные структуры наблюдались также в смесях  $\text{Ar}-\text{H}_2$ ,  $\text{Ar}-\text{D}_2$  [8]. Их образование связано с немонотонной зависимостью потока положительных

ионов Г как функции электрического поля. Эта немонотонность обусловлена изменением соотношения концентраций электронов и ионов  $H^-$  за счет процессов прилипания к  $H_2(v)$  (колебательно-возбужденным молекулам) и разрушения  $H^-$  при соударениях с  $H_2(v)$  [3, 8]. Когда  $\Gamma(E)$  немонотонен, дрейфовые уравнения для плазмы разряда совместно с уравнением Пуассона обладают периодическими решениями [8], соответствующими наблюдаемой полосатой структуре разряда. Поскольку перечисленные процессы остаются важными и для плазмы в смеси  $He-H_2$ , естественно перенести объяснение, данное в [8], на наш случай.

Анализ результатов исследования несамостоятельного разряда в смесях  $H_2$  с Ar и He позволяет сделать некоторые прогнозы о свойствах разряда в смесях  $H_2$  с другими инертными газами Xe, Kr, Ne. Эти газы, имея в виду свойства разряда в смесях  $H_2-R$ , удобно классифицировать по энергии сродства к протону и потенциалам ионизации, энергии возбуждения электронных уровней. Ne по этим параметрам ближе к He, а Xe и Kr — к Ar. Поэтому в смесях с Ne основным ионом будет, по-видимому,  $H_3^+$ , а неустойчивость будет вызвана прямым возбуждением молекул  $H_2$ . Энерговклады должны быть порядка энерговкладов в He смеси, а время развития неустойчивости при равных токах пучка меньше из-за большого тока разряда. В смесях с Xe, Kr по аналогии со смесью с Ar основными ионами будут  $XeH^+$  и  $KrH^+$ , а неустойчивость будет определяться возбуждением атомов Xe, Kr или атомов H. Энерговклады должны быть близки энерговкладам в смесях с Ar, а времена неустойчивости меньше из-за большого тока разряда.

#### Литература

- [1] Александров А. Ю., Басов Н. Г., Данилычев В. А. и др. Письма в ЖТФ, 1985, т. 11, № 7, с. 413—416.
- [2] Басов Н. Г., Зворыкин В. Д., Ионин П. П. и др. Кр. сообщ. по физике, 1984, № 10, с. 53—57.
- [3] Демьянов А. В., Дятко Н. А., Кочетов И. В. и др. Физика плазмы, 1985, т. 11, № 3, с. 361—368.
- [4] Демьянов А. В., Дятко Н. А., Кочетов И. В. и др. Физика плазмы, 1986, т. 12, № 5, с. 623—631.
- [5] Вирин Л. Н., Джагацпанаян Р. В., Каракенцев Т. В. и др. М.: Наука, 1979. 547 с.
- [6] Смирнов Б. М. Ионы и возбужденные атомы в плазме. М.: Атомиздат, 1974. 455 с.
- [7] Делькруа Ж.-Л., Ферейра К. М., Рикар А. В кн.: Плазма в лазерах / Под ред. Бекефи Дж. М.: Энергоиздат, 1982, с. 176—243.
- [8] Демьянов А. В., Кочетов И. В., Напартович А. П. и др. Письма в ЖТФ, 1986, т. 12, № 14, с. 849—853.

Поступило в Редакцию  
5 ноября 1986 г.